

УДК 517.977.5

Миронов А. В., Юлдашев Р. В., Юлдашев М. В.,  
Кузнецов Н. В.

### Оценка полосы захвата для систем ФАПЧ 3 порядка

**1. Введение.** Система фазовой автоподстройки частоты (ФАПЧ) — система с обратной связью, подстраивающая частоту сигнала генератора, управляемого напряжением (ГУН) под частоту опорного сигнала. В настоящее время системы ФАПЧ применяются в телекоммуникационном оборудовании [1], навигационных системах [2] и др. Основными параметрами ФАПЧ являются полосы удержания, захвата и захвата без проскальзывания [3]. В данной работе исследуются оценки полосы захвата для некоторых систем ФАПЧ третьего порядка, которые отличаются хорошим подавлением шума и низкой стационарной ошибкой, по сравнению с системами ФАПЧ второго порядка [4].

**2. Математическая модель ФАПЧ.** Хорошо известна система дифференциальных уравнений, описывающих ФАПЧ [5], рис. 1,

$$\begin{aligned}\dot{x} &= Ax + B(\sin(\theta_e) - \gamma), \\ \dot{\theta}_e &= -K_{vco}C^T x - K_{vco}D(\sin(\theta_e) - \gamma),\end{aligned}\tag{1}$$

где  $A$  — постоянная  $(n \times n)$ -матрица,  $B$  и  $C$  — постоянные  $n$ -мерные векторы,  $D$  — константа,  $x(t)$  —  $n$ -мерный вектор состояний системы,  $W(s) = C^T(A - sI)^{-1}B - D$  — передаточная функция фильтра.

---

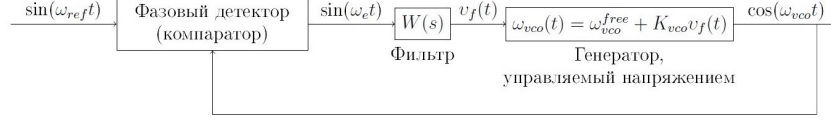
*Миронов Алексей Владиславович* — студент, Санкт-Петербургский государственный университет; e-mail: alexmir2015@yandex.ru, тел.: +7(812)321-31-33

*Юлдашев Ренат Владимирович* — профессор, Санкт-Петербургский государственный университет; e-mail: renatyv@pm.me, тел.: +7(812)321-31-33

*Юлдашев Марат Владимирович* — профессор, Санкт-Петербургский государственный университет; e-mail: maratyv@gmail.com, тел.: +7(812)321-31-33

*Кузнецов Николай Владимирович* — профессор, Санкт-Петербургский государственный университет; e-mail: nkuznetsov239@gmail.com, тел.: +7(812)321-31-33

Работа выполнена в рамках проекта Ведущих научных школ НШ-2624.2020.1



**Рис. 1.** Схема классической системы ФАПЧ, где  $\omega_{ref}$  — частота опорного сигнала,  $\omega_{vco}$  — частота сигнала ГУН,  $v_f(t)$  — выходной сигнал фильтра,  $\omega_{vco}^{free}$  — частота свободных колебаний ГУН,  $\omega_e = \omega_{ref} - \omega_{vco}$

Здесь будем рассматривать фильтры третьего порядка со следующими передаточными функциями

$$W(s) = \frac{1}{(1 + \tau_{p1}s)(1 + \tau_{p2}s)}, \quad 0 < \tau_{p1} < 1, \quad 0 < \tau_{p2} < 1,$$

$$W(s) = \frac{(1 + \tau_{z1}s)^2}{(1 + \tau_{p1}s)^2}, \quad 0 < \tau_{p1} < 1, \quad 0 < \tau_{p2} < 1, \quad \tau_{p1} \neq \tau_{p2},$$

$$W(s) = \frac{1 + \alpha_1\beta_1s + \alpha_2\beta_2s^2}{1 + \alpha_1s + \alpha_2s^2}, \quad 0 < \beta_1 < \beta_2 < 1, \quad 0 < \alpha_1, \quad 0 < \alpha_2.$$

Коэффициент передачи ГУН равен  $K_{vco}$ , величина  $\gamma$  определяется следующим образом

$$\gamma = \frac{\omega_e^{free}}{K_{vco}(D - C^T A^{-1} B)},$$

где  $\omega_e^{free} = \omega_{ref} - \omega_{free}$  — разность частоты опорного сигнала и частоты свободных колебаний ГУН. При этом предполагается, что эталонный генератор работает на постоянной частоте.

**3. Оценка области захвата.** Введем определение полосы захвата согласно [5].

**Определение 1.** Полоса захвата — максимальная разность по модулю частот опорного сигнала и ГУН  $|\omega_p|$  такая, что система (1) глобально асимптотически устойчива для всех  $0 < |\omega_e^{free}| < |\omega_p|$ .

**Определение 2.** Система (1) называется глобально асимптотически устойчивой, если любое решение  $x(t, x_0)$  стремится к некоторому состоянию равновесия при  $t \rightarrow +\infty$ .

Введем в рассмотрение число

$$|\nu| = \frac{0,5\pi\gamma}{\gamma \arcsin(\gamma) + \sqrt{1-\gamma^2}}.$$

Следующая теорема дает условие глобальной асимптотической устойчивости (1).

**Теорема 1** [6]. Пусть все нули функции  $\sin(\theta_e) - \gamma$  изолированы, пара  $(A, B)$  вполне управляема, все собственные значения матрицы  $A$  имеют отрицательные вещественные части и существуют числа  $\varepsilon > 0, \delta > 0, \tau \geq 0$ , и  $\varkappa$ , такие что имеют место неравенства:

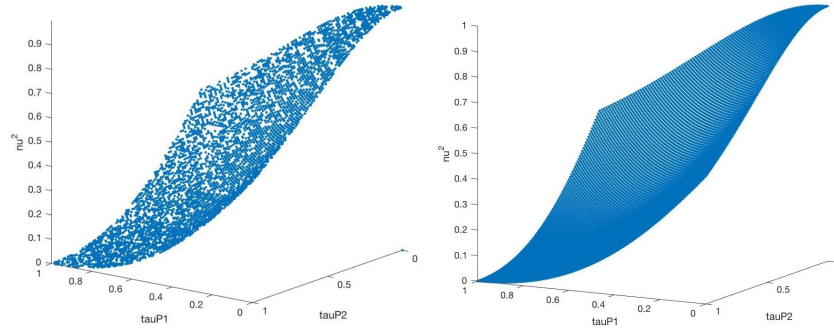
$$\operatorname{Re} \left( \varkappa W(ix) - \varepsilon [W(ix)]^2 - \tau [\overline{W(ix)} + ix] [W(ix) + ix] \right) \geq \delta, \quad (2)$$

$$\forall x \in \mathbb{R},$$

$$\varepsilon\delta > (\varkappa\nu)^2. \quad (3)$$

Тогда система (1) глобально асимптотически устойчива.

Теорема 1 может быть использована для получения аналитических оценок полосы захвата. Для этого необходимо выбрать  $\varepsilon, \delta, \varkappa, \tau$ , удовлетворяющие (2) так, чтобы максимизировать  $\nu$ . Из максимальной  $\nu$  получим максимальный  $\omega_e^{free}$ , при котором система (1) глобально асимптотически устойчива.



**Рис. 2.** Слева — численная оценка  $\nu^2$  в MATLAB с помощью функции `fmincon`; справа — график  $\nu^2$ , полученный из (3) при выполнении (2).

Применение теоремы 1 к фильтру с передаточной функцией

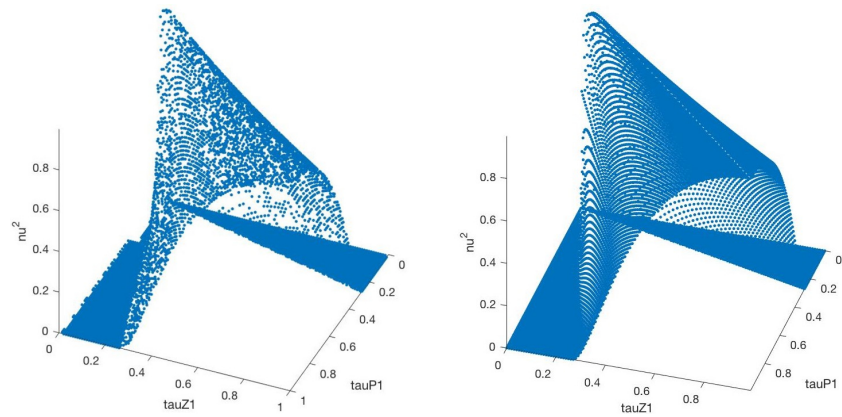
$$W(s) = \frac{1}{(1 + \tau_{p1}s)(1 + \tau_{p2}s)}, \quad 0 < \tau_{p1} < 1, \quad 0 < \tau_{p2} < 1,$$

приводит к оценке, изображенной на рис. 2

Применение теоремы 1 к фильтру с передаточной функцией

$$W(s) = \frac{(1 + \tau_{z1}s)^2}{(1 + \tau_{p1}s)^2}, \quad 0 < \tau_{p1} < 1, \quad 0 < \tau_{p2} < 1, \quad \tau_{p1} \neq \tau_{p2},$$

приводит к оценке, изображенной на рис. 3



**Рис. 3.** Слева — численная оценка  $\nu^2$  в MATLAB с помощью функции `fmincon`; справа — график  $\nu^2$ , полученный из (3) при выполнении (2).

**4. Заключение.** В настоящее время системы фазовой автоподстройки частоты и их модификации применяются в различных устройствах, где требуется синхронизация частот. Полученный результат может быть интересен инженерам при проектировании и реализации систем ФАПЧ третьего порядка.

## Литература

1. Best R. E. Phase-Locked Loops: Design, Simulation, and Applications. New York: McGraw-Hill Education, 2007. 421 p.
2. Rao R. B., Kunysz W., Fante R., McDonald K. GPS/GNSS Antennas. Boston: Artech House, 2013. 420 p.
3. Шахгильдян В. В., Ляховкин А. А. Системы фазовой автоподстройки частоты. М.: Изд-во «Связь», 1972. 447 с.
4. Feng L., Wu C., Jin B., Wu Z. A Passive Third-order Cascade PLL Filter // Trans Tech Publications. 2011. Vol. 255–260. P. 2262–2266.
5. Kuznetsov N. V., Leonov G. A., Yuldashev M. V., Yuldashev R. V. Hold-In, Pull-In, and Lock-In Ranges of PLL Circuits: Rigorous Mathematical Definitions and Limitations of Classical Theory // Transactions on Circuits and Systems I: Regular Papers. 2015. Vol. 62, No 10. P. 2454–2464.
6. Leonov G. A., Reitmann V., Smirnova V. B. Non-Local Methods for Pendulum-Like Feedback Systems. Wiesbaden: Vieweg+Teubner Verlag, 1992. 242 p.